

論 文

軸과 垂直方向으로 運動하는 プラズマ円柱에 의한 平面電磁波의 散亂

正會員 具 然 健*

Electromagnetic Scattering by a Plasma Column Moving in the Perpendicular Direction to Its Axis

Yeon Geon KOO*, Regular Member

要 約 等方性プラズマ円柱が 軸에 수직인 방향으로 일정한 속도로 운동할 때 Lorentz 변환식, 境界條件에 의해 임의의 角度로 入射하는 平面電磁波에 대한 散亂界, 全散亂斷面積, 散亂電力角度分布, 레이더斷面積을 プラズマ円柱의 운동속도, 平面波의 入射角의 關係를 數式으로 유도하고 入射波가 H波인 경우가 E波보다 散亂界에 영향이 많이 있음을 발견하였다.

ABSTRACT Scattering of obliquely incident plane electromagnetic waves by an isotropic plasma column which is moving uniformly in the perpendicular direction to its axis is treated analytically on the basis of Lorentz transform and boundary conditions. The scattered field, the total scattering cross-section, the radar cross-section, and the angular distribution of the scattered power for the incident plane waves polarized arbitrarily are derived to find the function of the moving velocity of the plasma column and of the angle of the incident plane waves and to find the scattered field of the H-waves more distinguishable than the E-waves.

1. 緒 論

電磁波의 散亂問題는 태양의 코로나現象, 은하계의 移動狀態등의 우주계의 연구 등 많은 應用分野에 이용되고 있기 때문에 근래에 많은 연구가 이루어지고 있다. 散亂体가 均質인 경우 球, 円柱, 楕円体等 여러 가지 모형에 대해 靜止系에서 散亂界를 誘起된 表面電流에 대한 積分方程式⁽¹⁾, Hankel함수의 無限級數⁽²⁾, Unitmoment法⁽³⁾에 의해 검토되었다. 運動系에서는 T. Shiozawa

가 Maxwell方程式의 公分散(covariance)과 位相의 不變性을 利用하여 球型散亂体가 均質의 도체, 유전체, プラズ마인 경우 入射波와 같은 方向으로 운동할 때 散亂電力의 角度分布를 검토하였고⁽⁴⁾ 완전도체, 유전체円柱가 軸과 수직방향으로 운동할 때 Lorentz변환식을 기초로 하여 散亂電力의 角度分布, 레이더斷面積⁽⁵⁾을, プラズ마円柱가 軸방향으로 운동할 때 Maxwell-Minkowski方程式을 이용하여 平面波의 入射角, 散亂体의 운동속도의 변화에 대한 後方散亂斷面積을 해석하였다.⁽⁷⁾ C. Yeh는 誘電体板이 板面에 수직, 평행으로 운동할 때 투파, 반사, 회절을 운동속도와 입사각에 따라 검토하고^{(8), (9)} 軸방향으로 일정한 속도로 운동하고 있는 プラズマ円柱에 임의의 角으로 입사한 平面電磁波의 散亂을 Lorentz 변환식

* 弘益大學校電子工學科

Dept. of Electronic Engineering Hongik University,
Seoul, 121 Korea

論文番號 : 83-03 (接受 1983. 1. 19)

과 Maxwell方程式을 기초로 하여 境界條件에 의해 散亂電磁界의 振幅係數를 구하고 프라즈마円柱의 半徑를 波長에 比한 크기 (ka), 운동속도, 微分散亂(differential scattering)에너지를 해석하였다.¹⁰

본 논문에서는 프라즈마円柱가 軸에 수직방향으로 일정한 속도로 운동할 때 Lorentz 변환식, 境界條件에 의해 임의의 角으로 입사하는 平面電磁波에 대한 散亂電磁界를 (1)프라즈마円柱가 운동할 때 프라즈마分布의 변화가 없고, (2)프라즈마円柱의 表面이 Rayleigh criterion¹¹을 만족하고, (3)入射波의 波長에 비하여 프라즈마円柱의 반경이 작다고 가정하여 冷프라즈마의 比誘電率 ϵ_r 이 Doppler周波數 w' 즉 運動速度와 電磁波의 入射角의 函數이므로 電磁波의 入射角, 散亂波의 運動速度에 대한 散亂電力角度分布, 全散亂斷面積, 레이다斷面積을 계산 고찰하였다.

2. 理論

(1) 運動系에서 프라즈마円柱에 의한 散亂電磁界

그림 1과 같이 프라즈마円柱의 軸이 z軸 방향으로 놓여 있고 운동방향이 x軸방향이라 하면 靜止系 P에서 電界 E , 磁界 B , 四次元波벡터 $(k_x, k_y, k_z, j\frac{w}{C})$ 와 運動系 P'에서 電界 E' , 磁界 \bar{B}' , 四次元波벡터 $(k'_x, k'_y, k'_z, j\frac{w'}{C})$ 의 관계는 Lorentz변환식에 의해¹²

$$\left. \begin{array}{l} E'_x = E_x \\ E'_y = \gamma(E_y - vB_x) \\ B'_x = B_x \\ B'_y = \gamma(B_x + \frac{v}{c^2}E_y) \end{array} \right\} (1)$$

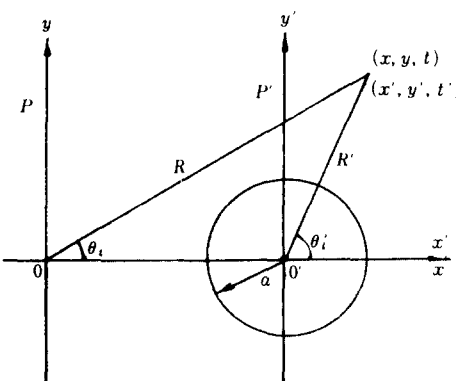


그림 1 좌표계
Geometry.

$$E_z = \gamma(E_y + vB_x) \quad B_z = \gamma\left(B_y - \frac{v}{c^2}E_x\right)$$

$$\left. \begin{array}{l} k'_x = \gamma(k_x - \beta\frac{w}{c}) \\ k'_y = k_z \\ k'_z = k_z \\ \omega' = \gamma(\omega - \beta c k_x) \end{array} \right\} (2)$$

이다. 단, v 는 散亂波의 운동속도, C 는 光의 속도, $\gamma = \left\{ 1 - \left(\frac{v}{c} \right)^2 \right\}^{-\frac{1}{2}} = (1 - \beta^2)^{-\frac{1}{2}}$ 이다.

運動系 P'에서 入射波가 H波이면 円筒座標系에서 入射波는 波動方程式의 解이어야 하고 φ, z 성분의 变化율은 값이 갖지 않는 二次元을 고려하면

$$\left. \begin{array}{l} H_{iz} = H_{io} \exp \{-j(k_{ix}x' + k_{iy}y' - \omega' t')\} \\ = H_{io} \sum_{n=-\infty}^{\infty} J_n(k_o r') \exp(-j\omega' t') \end{array} \right\} (3)$$

$$E_{iz} = 0$$

이다. 단 J_n 은 n 次Bessel함수이다. 散亂波는 경제조건에 의하여 구하면

$$\left. \begin{array}{l} H_{sz} = H_{io} \sum_{n=-\infty}^{\infty} C_n Z_n(k_o R') \exp \{j_n(\theta' - \theta'_i)\} \\ \exp \{j(\omega' t')\} \end{array} \right\} (4)$$

이다. 단,

$$\begin{aligned} Z_n(k_o R') &= AJ_n(k_o R') + BN_n(k_o R') \\ \theta' - \theta'_i &= \varphi' \end{aligned}$$

이다. Z_n 은 일반적인 Bessel함수이고 N_n 은 Neumann함수이다. 이를 Sommerfeld의 輻射條件^(6, 11)을 적용하면 $A + jB = 0$ 이 얻어지므로 (4)는

$$\left. \begin{array}{l} H_{sz} = H_{io} \sum_{n=0}^{\infty} C_n H_n^{(1)}(k_o R') \exp \{ \\ j(n\varphi' - \omega' t')\} \\ = H_{io} \sum_{n=0}^{\infty} C_n H_n^{(1)}(k_o R') \cos n\varphi' \\ \exp(-j\omega' t') \end{array} \right\} (5)$$

$$E_{sz} = 0$$

와 같이 된다. 단, $H_n^{(1)}$ 은 제 1종 Hankel함수 $\hat{n} \cdot \hat{x} = \cos \theta_i$

$$H_{io} = \gamma(1 - \beta \cos \theta_i) H_{io}$$

$$\left. \begin{array}{l} H_{io} \text{는 靜止系에서 } H \text{波의 } Z \text{성분 初期值} \\ k_{iz} = \gamma(\cos \theta_i - \beta) k_o \\ k_{iy} = k_o \sin \theta_i \\ \omega' = \gamma(1 - \beta \cos \theta_i) \omega \\ \cos \theta'_i = (\cos \theta_i - \beta) / (1 - \beta \cos \theta_i) \\ \sin \theta'_i = \sin \theta_i / |\gamma(1 - \beta \cos \theta_i)| \\ R' = \gamma(1 - \beta \cos \theta_i) R \end{array} \right\} (6)$$

이고 C_n' 을 プラズマ円柱의 表面 ($r=a$)에서 境界條件을 이용하여 구하면⁽¹⁾

$$\begin{aligned} C_n' = -\nu_n j^n \frac{J_n'(k_o a) J_n(k_i' a) - \left(\frac{\mu_r}{\epsilon_r}\right)}{J_n(k_i' a) H_n^{(1)}(k_o a) - \left(\frac{\mu_r}{\epsilon_r}\right)} \\ \frac{J_n(k_o a) J_n'(k_i' a)}{J_n'(k_o a) H_n^{(1)}(k_o a)} \end{aligned} \quad (7)$$

ν_n : Neumann 인수 $\nu_o=1$, $\nu_n=2$ ($n \geq 1$)이다. 단 $k_i'=k_o'(\epsilon_r \mu_r)^{\frac{1}{2}}=\omega'(\epsilon_o \mu_o)^{\frac{1}{2}}(\epsilon_r \mu_r)^{\frac{1}{2}}$ 이다.

計算을 쉽게 하기 위하여 $k_i' a \ll 1$, $k_o' a \ll 1$ 이라 가정하면 식(5)를 靜止系 P 에서 散亂波로 轉化하면

$$\begin{cases} H_{sz} = -H_{io} \frac{(k_o a)^2}{2} \gamma \left(\frac{j \pi}{2 k_o R} \right)^{\frac{1}{2}} \frac{(1-\beta \cos \theta_i)^{\frac{1}{2}}}{(1-\beta \cos \theta)^{\frac{1}{2}}} \\ * \exp[j(k_s R - w_s t)] \times \left(1 - u_r - 2D \frac{\epsilon_r - 1}{\epsilon_r + 1} \right) \\ E_{sz} = 0 \end{cases} \quad (8)$$

이고 双對性에 의해 入射波가 E波인 경우는

$$\begin{cases} E_{sz} = -E_{io} \frac{(k_o a)^2}{2} \gamma \left(\frac{j \pi}{2 k_o R} \right)^{\frac{1}{2}} \frac{(1-\beta \cos \theta_i)^{\frac{1}{2}}}{(1-\beta \cos \theta)^{\frac{1}{2}}} \\ * \exp[j(k_s R - w_s t)] \times \left(1 - \epsilon_r - 2D \frac{u_r - 1}{u_r + 1} \right) \\ H_{sz} = 0 \end{cases} \quad (9)$$

이다. 단, $D = \cos \varphi' = \frac{(\cos \theta_i - \beta)(\cos \theta - \beta)}{(1 - \beta \cos \theta)}$

$\frac{r^{-2} \sin \theta_i \sin \theta}{(1 - \beta \cos \theta)}$, $k_s = \omega_s (\mu_o \epsilon_o)^{\frac{1}{2}}$, $\omega_s = \frac{1 - \beta \cos \theta_i}{1 - \beta \cos \theta}$ 이다.

(2) 散亂斷面積, 레이디斷面積

全散亂斷面積 σ_t 와 微分散亂角度分布 (differential scattering width) $\sigma(\theta)$ 는 運動系 P' 에서

$$\begin{aligned} \sigma_t &= \int \sigma(\theta) d\theta \\ &= \int \frac{|W_s|}{|W_i|} R (1 - \beta \cos \theta) d\theta \end{aligned} \quad (10)$$

의 관계가 있다. 단, $|W_s| = \frac{1}{2} \eta_o H_{sz}^2$, $|W_i| = \frac{1}{2} \eta_o H_{io}^2$, $\eta_o = (u_o / \epsilon_o)^{\frac{1}{2}}$ 이다. 따라서 H波, E波가 入射할 때 全散亂斷面積 σ_{ht} , σ_{et} 와 散亂電力角度分布 $\sigma_h(\theta)$, $\sigma_e(\theta)$, 레이디斷面積 σ_{hr} , σ_{er} 은 식(8), 식(9)을 식(10)에 대입하여 정리하면

$$\left(\frac{\sigma_{ht}}{\sigma_{et}} \right) = \frac{\pi^2}{4} (k_o a)^2 \frac{(1 - \beta \cos \theta_i)^2}{(1 - \beta^2)} \left[\left(\frac{1 - u_r}{1 - \epsilon_r} \right)^2 - 2 \right]$$

$$\begin{aligned} &\left(\frac{1 - u_r}{1 - \epsilon_r} \right) \left(\frac{\epsilon_r - 1}{\epsilon_r + 1} \right) \frac{\cos \theta_i - \beta}{1 - \beta \cos \theta_i} \beta \\ &+ 2 \left(\frac{\epsilon_r - 1}{\epsilon_r + 1} \right) \left(\frac{\cos \theta_i - \beta}{1 - \beta \cos \theta_i} \right)^2 + 2 \\ &\left(\frac{\epsilon_r - 1}{\epsilon_r + 1} \right) \left(\frac{\sin^2 \theta_i}{(1 - \beta \cos \theta_i)^2} \right) \end{aligned} \quad (11)$$

$$\begin{aligned} \left(\frac{\sigma_h(\theta)}{\sigma_e(\theta)} \right) &= \frac{\pi}{8} (k_o a)^3 a \gamma^2 \left[1 - \left(\frac{u_r}{\epsilon_r} \right) - 2D \right. \\ &\left. \left(\frac{\epsilon_r - 1}{\epsilon_r + 1} \right)^2 \frac{(-\beta \cos \theta_i)^2}{(1 - \beta \cos \theta)^2} \right] \end{aligned} \quad (12)$$

$$\left(\frac{\sigma_{hr}}{\sigma_{er}} \right) = \frac{\pi^2}{4} (k_o a)^3 a \gamma^2 \left[1 - \left(\frac{u_r}{\epsilon_r} \right) - 2 \left(\frac{\epsilon_r - 1}{\epsilon_r + 1} \right) \right. \\ \left. \left(\frac{\beta^2 \sin^2 \theta_i - \gamma^{-2}}{\beta^2 \sin^2 \theta_i + \gamma^{-2}} \right)^2 \right] \frac{(1 - \beta \cos \theta_i)^2}{(1 + \beta \cos \theta_i)^2} \quad (13)$$

을 얻는다.

3. 計算檢討

等方性冷プラズ마媒質에서 比誘電率 ϵ_r , 比透磁率 μ_r 은

$$\left. \begin{aligned} \epsilon_r &= 1 - (\omega_p / \omega')^2 \\ &= 1 - \frac{\omega_p}{\gamma (1 - \beta \cos \theta_i) \omega} \end{aligned} \right\} \quad (14)$$

$\mu_r \approx 1$

이다. 단 ω_p 는 プラズ마周波數이다. 식(14)를 식(11), (12), (13)에 대입하고 Dipole형의 單一共振이 일어날 수 있도록 $\omega_p / \omega = \frac{1}{\sqrt{2}}$ ^{(7), (10)}로 하고 運動速度, 입사각에 의한 因子만을 고려하여 正規화하면

$$\sigma_{ht} = \frac{2 (1 - \beta^2)^{\frac{1}{2}} (1 - \beta \cos \theta_i)^2}{4 (1 - \beta \cos \theta_i)^2 - (1 - \beta^2)^{\frac{1}{2}}} \left\{ \frac{(\cos \theta_i - \beta)^2}{1 - \beta^2} + \sin^2 \theta_i \right\} \quad (11'-a)$$

$$\sigma_{et} = \frac{(1 - \beta \cos \theta_i)}{4 (1 - \beta^2)^{\frac{1}{2}}} \quad (11'-b)$$

$$\sigma_h(\theta) = \frac{4 (1 - \beta^2) (1 - \beta \cos \theta_i)^2}{(1 - \beta \cos \theta)^4} \quad (11')$$

$$\left\{ \frac{(\cos \theta_i - \beta)(\cos \theta - \beta) + (1 - \beta^2)\sin \theta \cos \theta_i}{4(1 - \beta \cos \theta_i)^2 - (1 - \beta^2)} \right\} \quad (12' - a)$$

$$\sigma_E(\theta) = \frac{(1 - \beta \cos \theta_i)}{4(1 - \beta \cos \theta)^2} \quad (12' - b)$$

$$\sigma_{Er} = \frac{(1 - \beta \cos \theta_i)^5}{(1 + \beta \cos \theta_i)^2} \left\{ \frac{-(1 - \beta^2)}{2(1 - \beta \cos \theta_i)^2 - (1 - \beta^2)} \cdot \frac{\beta^2 \sin^2 \theta_i - (1 - \beta^2)}{\beta^2 \sin^2 \theta_i + (1 + \beta^2)} \right\}^2 \quad (13' - a)$$

$$\sigma_{Er} = \frac{(1 - \beta^2)(1 - \beta \cos \theta_i)}{4(1 + \beta \cos \theta_i)^2} \quad (13' - b)$$

와 같이 표시할 수 있고 각각을 도시하면 다음과 같다.

그림 2는 相對速度의 변화에 대한 全散亂斷面積을 도시한 것으로 波의 入射角이 0이면 H波의 경우는 12dB, E波는 5dB의 변화가 있지만 入射角이 $\pi/2$ 이면 1dB, 2dB의 변화가 있어 프라즈마柱의 運動速度가 变하여도 入射角이 $\pi/2$ 이면 큰 변화가 없음을 보여 주고 있다. 가장 큰 변화는 入射波벡터와 運動方向이 일치할 때임을 알 수 있다. 그림 3은 H波의 入射角의 변화에 대한 散亂電力角度分布를 도시한 것으로 프라즈마柱이 운동하는 방향과 入射波의 入射方向이 같은 경우 相對速度가 0에서 0.3으로 증가하면 對稱的인 Dipole形의 電力分布는 非對稱的이 되며 운동방향에서 7dB의 증가가 생기고 운동반대방향에서는 1dB의 감소가 생긴다. 프라즈마柱의 운동방향과 수직방향에서 波가 入射하면 Dipole形의 電力分布는 波의 入射方向에서는 약간 감소하며 운동방향으로 약간 傾斜가 생기고 入射反對方向에서는 電力分布는 증가하며 운동방향으로 더 큰 傾斜가 생기는 것을 알 수 있다. 그림 4는 E波가 入射한 경우 散亂電力角度分布를 相對速度, 入射角에 대하여 도시한 것으로 電力分布는 圓形이고 프라즈마柱의 운동방향으로 中心의 위치가 变하여 入射角이 变하면 散亂電力分布가 靜止狀態에서 보다 적은 圆形에서 큰 圆形으로 变함을 보여주고 있다. 그림 5는 레이다斷面積을 相對速度, 入射波의 入射角의 變化를 도시한 것으로 H波의 경우는 入射角이 0이면 單一共振形이 되지만 $\pi/2$ 로 증가시키면 複共振이 일어나고 E波는 入射角이 0이면 相對速度가 負이면 정지하였을 때에 비하여 7dB 정도 감소하고 相對速度가 正이면 2.5dB 정도 증가하지만 入射角이 变하면 정지하였을 경우

4. 結論

벡터電磁界, 波의 四次元벡터 등에 대한 Lorentz변환을 하여 等方性프라즈마円柱가 軸에 수직한 方향으로 운동할 때 散亂電磁界, 散亂電力角度分布, 全散亂斷面積, 레이다斷面積을 數式化하고 數值計算을 하였다. 그런데 프라즈마円柱에 의한 散亂이 산란체의 운동속도, 平面波의 入射角에 따라 크게 变화함을 이용하여 프라즈

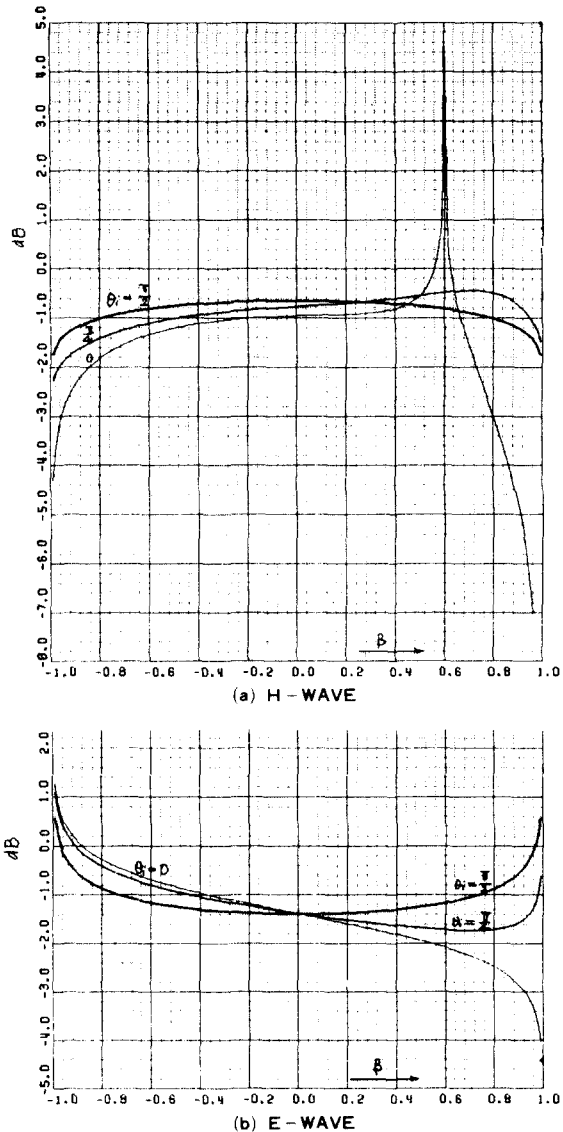


그림 2 全散亂面積 - 相對速度
Scattering cross-section.

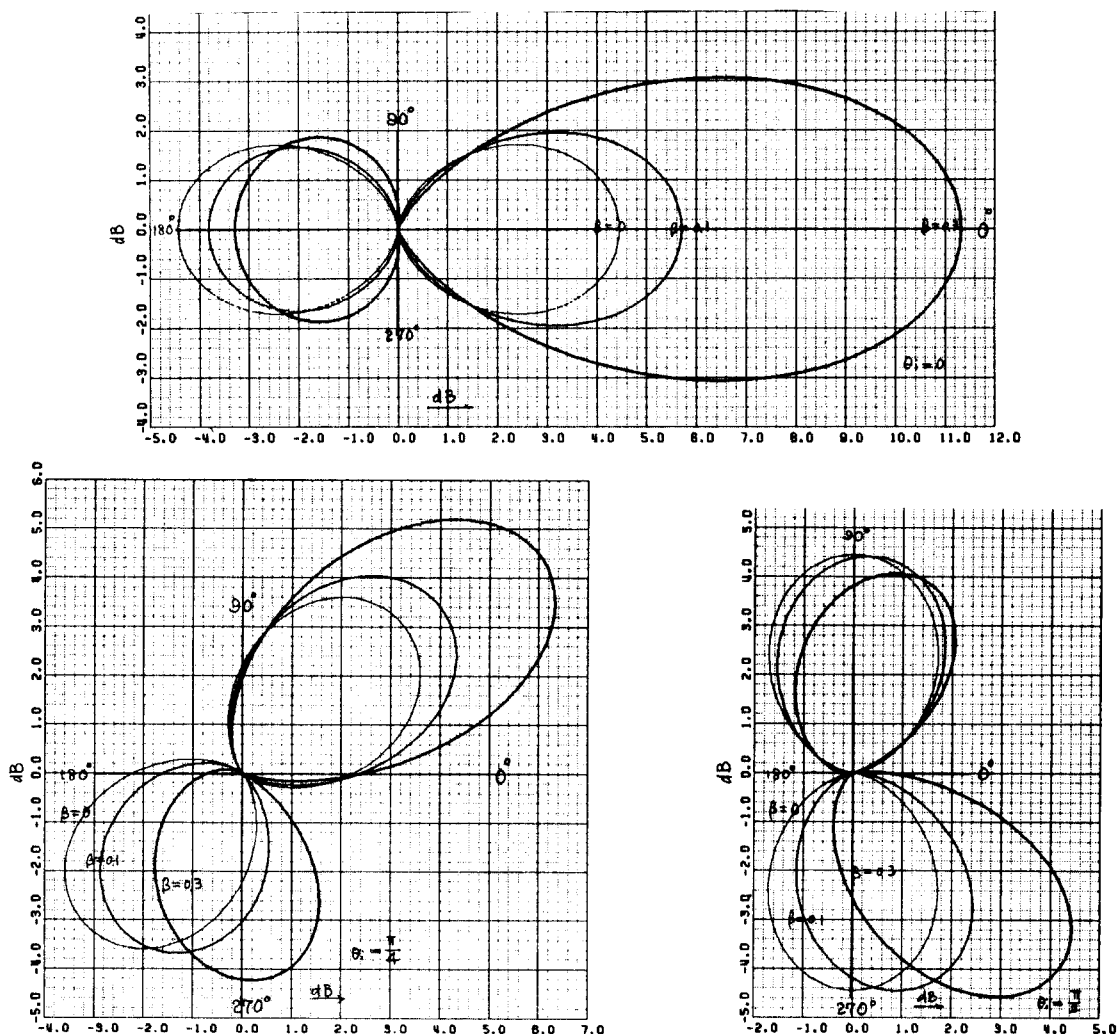


그림 3 散亂電力角度分布 (H-波)
Power angle distribution (H-wave).

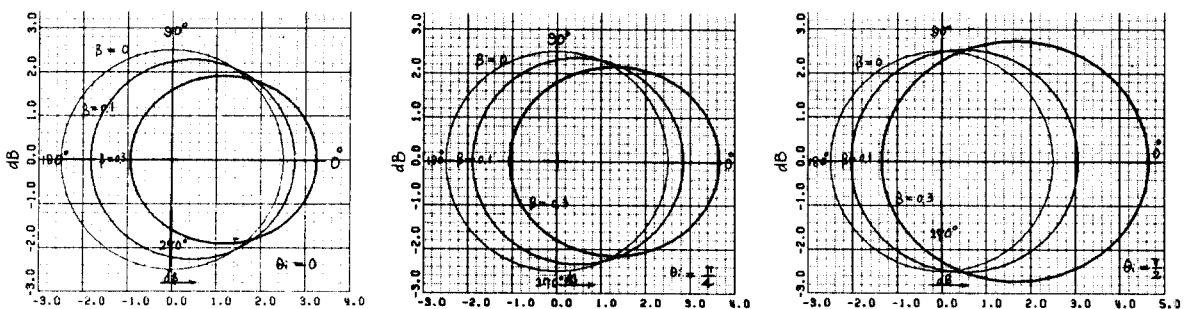


그림 4 散亂電力角度分布 (E-波)
Power angle distribution (E-wave).

미媒質의 運動狀態를 E波에 의한 散亂界보다 H波에 의한 散亂界가 변화율이 크므로 H波를 이용하여 관찰할 수 있다고 생각된다.

謝辭

값진 助言과 指導를 하여 주신 仁荷大學校 崔炳河教授께 감사를 드립니다.

參 考 文 獻

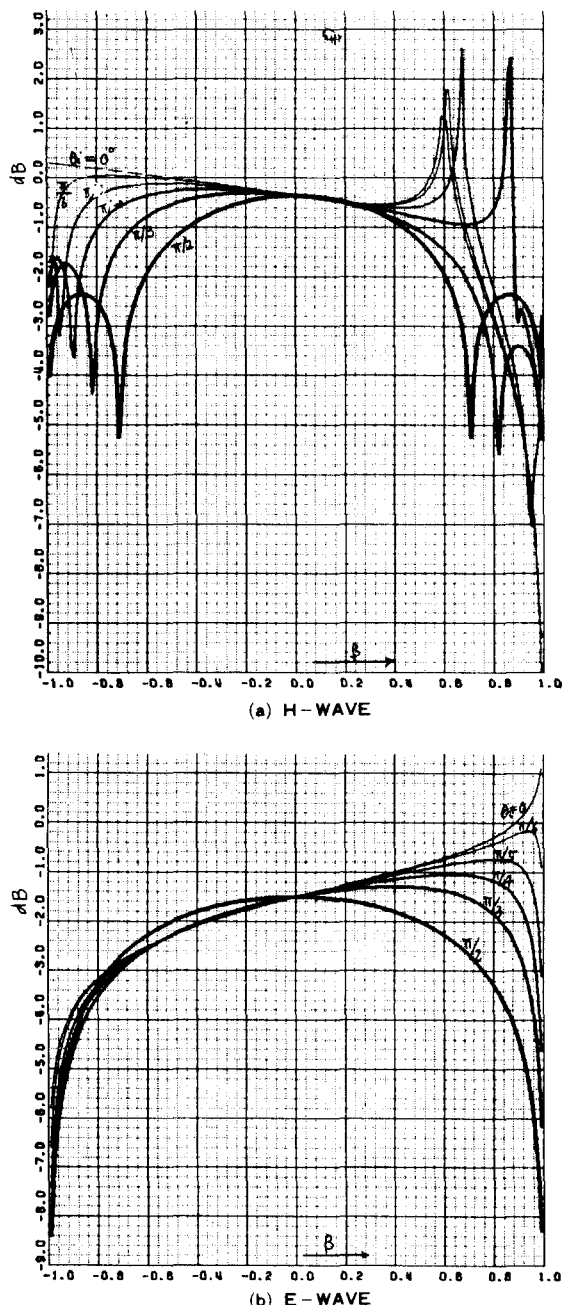


그림 5 레이다斷面積
Radar cross-section.

- (1) K. K. Mei and J. G. van Bladel, "Scattering by perfectly-conducting rectangular cylinders," IEEE Trans. Ant. Propagat., vol. AP-11, pp. 185-192 Mar. 1963.
- (2) P. C. Waterman, "Matrix formulation of electromagnetic scattering," Proc. IEEE, vol. 53, pp. 805-812, Aug. 1965.
- (3) K. K. Mei, "Application of the unimoment method to electromagnetic scattering of dielectric cylinders," IEEE Trans. Ant. Propagat. vol. AP-24, no. 1, Jan. 1976.
- (4) T. Shiozawa, "Electromagnetic scattering by a moving small particles," J. of Applied physics, vol. 39, no. 7, June 1968.
- (5) T. Shiozawa, "Electromagnetic scattering by a moving circular cylinder," 日本電子通信學會誌, pp. 141-147, 昭43-69 [B-26]
- (6) L. B. Felsen and N. Marcuvitz, "Radiation and scattering of waves," Prentice-Hall, 1973.
- (7) T. Shiozawa, "Electromagnetic scattering by an infinitely long cylinder moving along its axis," 日本電子通信學會誌, pp. 361-367, 昭45-851[B-321]
- (8) C. Yeh, "Reflection and transmission of electromagnetic waves by a moving plasma medium," J. of Applied Phys., vol. 37, no. 8, July. 1966.
- (9) C. Yeh, "Reflection and transmission of electromagnetic waves by a moving dielectric medium," J. of Applied Phys., vol. 36, no. 11, Nov. 1965.
- (10) C. Yeh, "Scattering obliquely incident microwaves by a moving plasma column," J. of Applied Phys., vol. 40, no. 13, Dec. 1969.
- (11) J. R. Mentzer, "Scattering and diffraction of radio waves," Pergamon Press, 1955.



具然健 (Yeon Geon KOO) 正會員
1939年3月29日生
1965年2月：서울대학교電氣工學科卒業
1967年2月：서울대학교電子工學科卒業
1976年2月：建国大學校大學院卒業
1967年6月～1973年8月：電波管理局，
韓國電氣通信
研究所勤務
1974年9月～1979年2月：檀國大學校電
子工學科
1979年3月～現在：弘益大學校電子工學科副教授